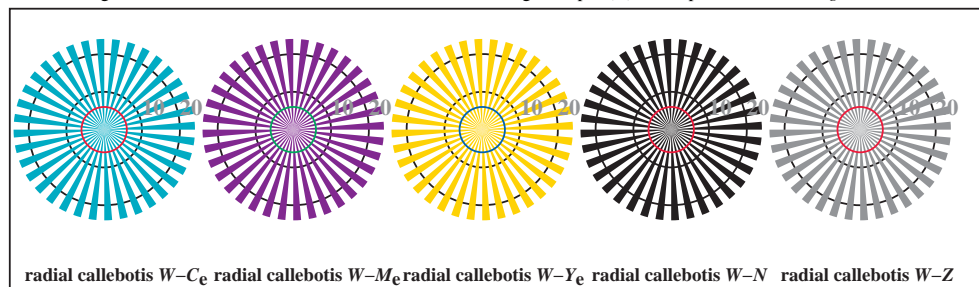
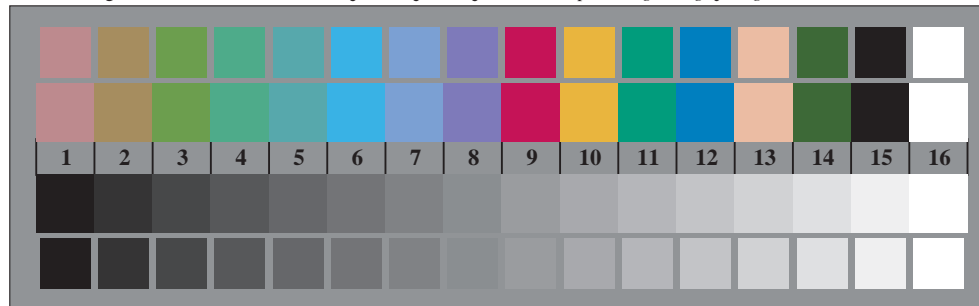




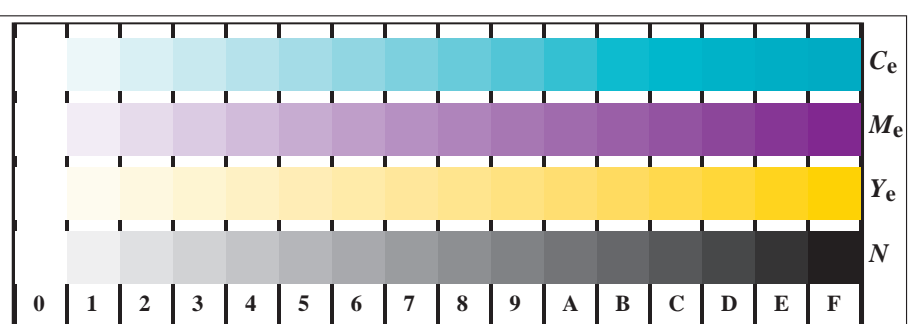
TF930-3, Fig. B1We: le motif fleuri, 14 CIE test couleurs et 2 + 16 gris étapes (sf); ; PS operator 4 colorimage



TF930-5, Fig. B2We: radial callebotis  $W-C_e$ ;  $W-M_e$ ;  $W-Y_e$ ;  $W-N$ ; PS operator  $rgb \rightarrow rgb_e$  setrgbcolor



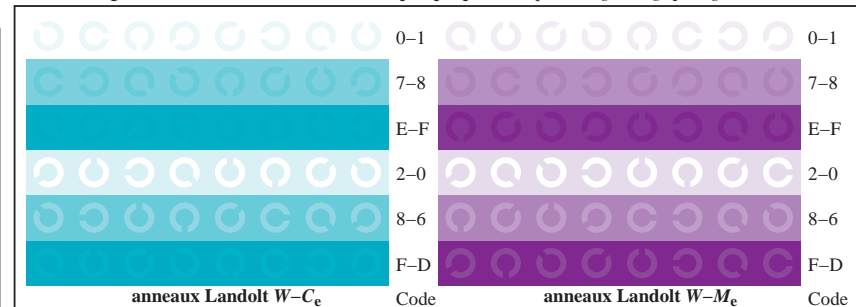
TF930-7, Fig. B3We: 14 CIE test couleurs et 2 + 16 gris étapes (sf);  $rgb/cmy0 \rightarrow rgb_e$  setrgbcolor



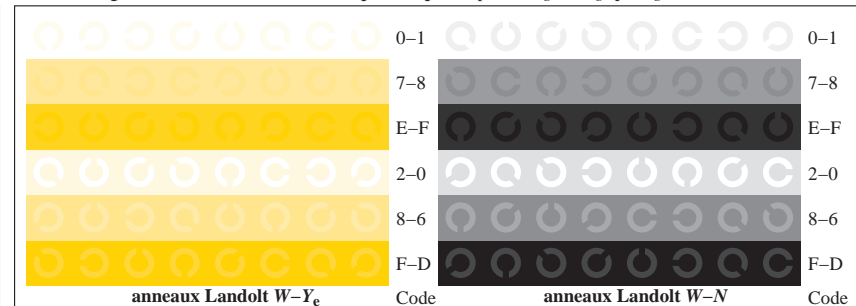
TF931-1, Fig. B4We: 16 équidistants étapes  $W-C_e$ ;  $W-M_e$ ;  $W-Y_e$ ;  $W-N$ ;  $rgb/cmy0 \rightarrow rgb_e$  setrgbcolor

+-.:					lmno					pqrs					tuvw				
xyz;					hijk					lmno					hijk				
tuvw					defg					+-.:					!abc				
pqrs					+-.:					xyz;					tuvw				
lmno					xyz;					defg					!abc				
defg					!abc					tuvw					6				
!abc					10					8					N				
10					N					N					C <sub>e</sub>				
					N					N					M <sub>e</sub>				
					N					N					Y <sub>e</sub>				
					N					N					Z				

TF931-3, Fig. B5We: code et Landolt anneauN; C<sub>e</sub>; M<sub>e</sub>; Y<sub>e</sub>; Z; PS operator  $rgb \rightarrow rgb_e$  setrgbcolor



TF931-5, Fig. B6We: anneaux Landolt  $W-C_e$ ;  $W-M_e$ ; PS operator  $rgb \rightarrow rgb_e$  setrgbcolor



TF931-7, Fig. B7We: anneaux Landolt  $W-Y_e$ ;  $W-N$ ; PS operator  $rgb \rightarrow rgb_e$  setrgbcolor